На правах рукописи

By

Воробьев Максим Александрович

Влияние дисперсной фазы на локальную структуру и теплообмен пузырьковых течений в области малых газосодержаний

1.3.14 Теплофизика и теоретическая теплотехника

АВТОРЕФЕРАТ

диссертации на соискании ученой степени кандидата физико-математических наук

Работа выполнена в Федеральном государственном бюджетном учреждении науки Институте теплофизики им. С.С. Кутателадзе Сибирского отделения Российской академии наук (ИТ СО РАН)

Научный доктор физико-математических наук, старший научный

руководитель: сотрудник

Кашинский Олег Николаевич

Официальные Мусакаев Наиль Габсалямович –

доктор физико-математических наук, профессор,

Тюменский филиал Федерального государственного бюджетного учреждения науки Института теоретической и прикладной механики им. С.А. Христиановича Сибирского отделения Российской академии наук, директор филиала

Васильев Николай Викторович -

кандидат физико-математических наук, Федеральное государственное бюджетное учреждение науки Объединенный институт высоких температур Российской

академии наук, старший научный сотрудник

Ведущая организация:

оппоненты:

Институт механики им. Р.Р. Мавлютова — обособленное структурное подразделение Федерального государственного

бюджетного научного учреждения Уфимского федерального исследовательского центра Российской академии наук

исследовательского центра Российской академии наук

Защита состоится «14» июня 2023 года в 9 часов 30 минут на заседании диссертационного совета 24.1.129.01, созданного на базе ИТ СО РАН по адресу: 630090, г. Новосибирск, пр. Академика Лаврентьева, д. 1.

С диссертацией можно ознакомиться в библиотеке и на сайте ИТ СО РАН: www.itp.nsc.ru. Отзыв на автореферат в двух экземплярах, заверенный печатью учреждения, просьба отправлять на имя ученого секретаря диссертационного совета по адресу: 630090, г. Новосибирск, пр. Академика Лаврентьева, д. 1. (e-mail: dissovet@itp.nsc.ru).

Автореферат разослан «____» апреля 2023 г.

Ученый секретарь диссертационного совета д.ф.-м.н., профессор РАН

Терехов Владимир Викторович

ОБЩАЯ ХАРАКТЕРИСТИКА РАБОТЫ

Актуальность темы.

Лвухфазные газожидкостные течения представляют собой один из наиболее интенсивно развивающихся разделов механики и теплообмена многофазных систем. Изучение пузырьковых течений играет важную роль для химической и атомной промышленности, металлургии, оксигенации и воды. Создание микропузырей является важной областью исследований в материаловедении и пищевой индустрии. В различных медицинских приложениях пузыри микронного размера используются для разрушения тромбов или доставки лекарств. Пузырьковые течения реализуются при добыче нефти и газа, а так же в биореакторных установках и тепловых насосах абсорбционного типа. Знание информации о структуре, пульсационных характеристик пузырьковых потоков осредненных и необходимо при создании современных энергоустановок. В связи с этим требуется постоянное улучшение методик расчета двухфазных потоков, которые могли бы стать базой для проектирования и безопасной эксплуатации устройств. Вследствие чрезвычайного технических разнообразия геометрических характеристик технических установок и режимных параметров потока, в настоящее время не представляется возможным обобщенное описание двухфазных газожидкостных течений. Для существующих методик расчета требуется значительное количество эмпирической информации о локальной структуре потока, полученной на основе эксперимента. Пузырьковые течения изучаются уже многие годы, в литературе показано, что локальная структура потока существенно зависит от дисперсности газовой фазы, направления движения фаз, и геометрии канала.

Показано, что изменяя размер пузырьков в потоке жидкости можно управлять параметрами течения. Генерация газовой фазы на капиллярах, погруженных в поток жидкости — один из способов создания пузырькового течения с контролируемой дисперсностью газовой фазы. Большая часть работ по исследованию отрыва пузырька в потоке жидкости сконцентрирована на изучении формирования пузырьков на отверстии в стенке канала в восходящем потоке. Данные об особенностях генерации пузырьков в опускных течениях, а также информация о влиянии положения инжектора газа в потоке на отрыв пузырька, носят фрагментарный характер.

Несмотря на обширную базу экспериментальных данных о структуре опускного пузырькового течения в трубах, в литературе наблюдается недостаток информации о характеристиках спутных опускных пузырьковых течений при малых расходах фаз. Практически отсутствуют прямые экспериментальные исследования структуры опускного пузырькового

течения при докритических числах Рейнольдса, и вблизи режима зависания газовой фазы.

Существует большое количество работ по исследованию газожидкостных течений в сборках стержней. При этом применяемые в работах методики измерения не позволяют определять значения локальных характеристик течения в пристенной зоне стержней. Не раскрыта проблема влияния дистанцирующих решеток на характеристики двухфазного потока в сборке.

В связи с изложенным, возникает необходимость проведения экспериментальных исследований для получения надежных данных о локальной структуре пузырьковых потоков. Эта информация может послужить основой для разработки современных методов расчета двухфазных потоков.

Целью диссертационной работы является экспериментальное исследование влияния дисперсной фазы на локальные характеристики и теплообмен пузырьковых течений в области малых газосодержаний, включая процессы генерации пузырьковой смеси.

Задачи:

- Определить особенности процесса генерации дисперсной фазы при истечении газа из одиночного капилляра, в восходящем, и в нисходящем потоке жидкости при различных размерах капилляра, его ориентациях в потоке, и различных вязкостях рабочей жидкости. Выделить основные параметры, влияющие на размер формируемого пузырька.
- Экспериментально исследовать локальные гидродинамические характеристики опускного пузырькового потока, такие как скорость жидкости, газосодержание и напряжение трения на стенке канала при докритических числах Рейнольдса жидкой фазы, и в течениях, близких к режиму со значительным ростом истинного газосодержания, когда групповая скорость всплытия пузырьков близка к скорости жидкой фазы.
- На основе измерений дисперсности газовых включений при отрыве от одиночного капилляра провести экспериментальные исследования распределения коэффициента теплообмена и напряжения трения на стенке в модели вертикальной сборки стержней квадратной компоновки.
 В том числе, получить распределение локального газосодержания по сечению канала сборки и исследовать влияние на это распределение возмущения течения от элементов, дистанцирующих стержни друг от друга.

Научная новизна:

• Определены режимы процесса генерации дисперсной фазы на одиночном капилляре в потоке жидкости при различных условиях. Экспериментально показано, что на размер пузыря оказывает влияние направления течения и ориентации капилляра в потоке. Показано, что при

- одиночном режиме отрыва наблюдается значительное влияние диаметра капилляра на размер пузыря, при этом при переходе в зону с коалесценцией рост среднего диаметра пузыря при увеличении расхода газа имеет схожую тенденцию для капилляров разного диаметра.
- Впервые получены экспериментальные данные о локальной гидравлической структуре опускного пузырькового течения вблизи режима зависания газовой фазы, и при докритических числах Рейнольдса жидкой фазы. Показано качественное подобие структур течения в однофазном развитом турбулентном потоке и псевдотурбулентном пузырьковом течении. Установлено, что даже при малых газосодержаниях газовая фаза оказывает значительное влияние на локальную структуру потока.
- Проведено экспериментальное исследование теплообмена вертикального стержня в модели сборки квадратной компоновки к адиабатическому пузырьковому потоку при различных расходах фаз. Впервые экспериментально измерены напряжение трения и пульсации напряжения трения на стенке вертикального стержня в сборке при восходящем пузырьковом течении.
- Определено, что значения напряжения трения и пульсаций напряжения трения существенно зависят от расстояния до дистанцирующей решетки, и эта зависимость имеет немонотонный вид, в отличие от однофазного случая.
- Впервые получены распределения локального газосодержания вблизи стенок стержней в ячейке вертикальной сборки квадратной компоновки. Показано, что наличие дистанцирующих элементов приводит к перестроению профиля газосодержания от колоколообразного к седлообразному. Обнаружено влияние структуры распределения газовой фазы по сечению канала на напряжение трения и интенсивность турбулентных пульсаций в пристенной зоне стержней сборки.

Достоверность полученных результатов. Достоверность полученных результатов обеспечивается использованием современных метолов. проведением калибровочных измерений, анализом погрешностей, воспроизводимостью полученных экспериментальных данных. Используемые методики тестировались в однофазных потоках, а результаты сравнивались с известными корреляциями. Достоверность полученных данных обусловлена также публикацией результатов исследований в жестко рецензируемых научных журналах.

Научная и практическая значимость работы. Полученные знания о режимах генерации дисперсной фазы на капилляре в потоке жидкости, важны для ряда технических приложений, в которых существует необходимость контроля дисперсности газовой фазы при движении

пузырьковой среды. Например, в абсорбционных насосах и биореакторах пузырькового типа, где размер газовых включений определяет скорость массообмена.

Экспериментальные данные о параметрах опускных пузырьковых течений при докритических числах Рейнольдса и вблизи режима зависания газовой фазы расширяют и дополняют существующие знания об опускных пузырьковых течениях. Полученные результаты могут быть использованы для верификации расчетных моделей пузырьковых течений при малых расходах фаз.

Экспериментальные данные об особенностях пузырьковых течений в вертикальной сборке стержней квадратной компоновки позволяют создать реальную физическую картину течений двухфазных газожидкостных смесей в сборках, способствуют пониманию механизмов влияния газовой фазы на теплогидравлические параметры течения, могут быть использованы при верификации расчетных защитных кодов для анализа аварийных ситуаций на АЭС.

На защиту выносятся:

- 1. Результаты экспериментального исследования режимов генерации газовых включений при истечении газа из одиночного капилляра в поток жидкости, при различных параметрах системы, включая зависимость диаметров пузырьков от геометрических и режимных параметров.
- 2. Результаты экспериментальных исследований локальных гидродинамических характеристик опускного пузырькового потока при докритических числах Рейнольдса жидкой фазы.
- 3. Результаты экспериментальных исследований локальных характеристик опускного пузырькового потока вблизи режима зависания газовой фазы, когда групповая скорость пузырьков близка к скорости жидкой фазы.
- 4. Результаты экспериментального исследования теплообмена, напряжения трения, распределения газовой фазы по сечению канала, влияния дистанцирующих элементов на параметры потока в адиабатическом пузырьковом течении в вертикальной сборке стержней квадратной компоновки.

Личный вклад соискателя. Основные научные результаты, включенные в диссертацию и выносимые на защиту, получены соискателем лично. Вклад автора состоял в проектировании и сборке экспериментальных установок и рабочих участков, подготовке и проведении всех представленных в работе экспериментов, разработке и тестировании комплекса численных алгоритмов для анализа базы полученных экспериментальных данных, обработке и анализе результатов, подготовке статей для публикации в рецензируемых журналах и докладов на конференциях. Постановка задачи и основные

методы исследования сформулированы руководителем диссертационной работы д.ф.-м.н. О.Н. Кашинским.

Апробация работы. Результаты диссертационной работы докладывались и обсуждались на следующих международных и всероссийских конференциях: Минский Международный форум по тепло- и массообмену (Республика Беларусь, Минск, 2012, 2016); ICONE International Conference on Nuclear Engineerin (Chengdu, China, 2013; Charlotte, North Carolina, USA, 2016); 9th International Conference on Multiphase Flow (Firenze, Международная научная студенческая конференция МНСК (Новосибирск, 2014. 2015): Российская национальная конференция по теплообмену РНКТ (Москва, 2014, 2018); Всероссийская школа-конференция с международным «Актуальные теплофизики физической vчастием вопросы гидрогазодинамики» (Новосибирск 2014, 2016, 2018); Всероссийская научная конференция «Теплофизика и физическая гидродинамика» с элементами школы молодых ученых. (Алушта, 2015, Ялта, 2019, Сочи, 2022); теплофизический Всероссийская конференция «Сибирский (Новосибирск, 2015, 2017, 2018); XXI Всероссийская научно-техническая конференция «Энергетика: эффективность, надежность, безопасность» (Томск. 2015): IV Международный семинар с элементами научной школы для молодых ученых ISHM (Новосибирск, 2016); Фундаментальные прикладные проблемы современной механики (Томск. «Фундаментальные и прикладные проблемы тепломассообмена» Школасеминар молодых ученых и специалистов под руководством академика РАН А.И. Леонтьева (Санкт-Петербург, 2017; Москва, 2019); Школа-конференция «Теоретические и вычислительные проблемы механики сплошных срел» (Новосибирск, 2017); 5th International Workshop on Heat/Mass Transfer Advances for Energy Conservation and Pollution Control (Новосибирск, 2019).

Публикации. По теме диссертации опубликовано 36 работ, включая 13 статей, в том числе 12 статей – в печатных изданиях, входящих в перечень ведущих рецензируемых научных журналов и изданий, рекомендованных ВАК

Объем и структура диссертации. Диссертация состоит из введения, пяти глав и заключения. Полный объём диссертации составляет 138 страниц с 84 рисунками и 4 таблицами. Список литературы содержит 245 наименований.

СОДЕРЖАНИЕ РАБОТЫ

Во введении обоснована актуальность работы, определена цель и поставлены задачи исследований, сформулированы научная новизна и практическая значимость работы, представлены основные положения, выносимые на защиту.

Первая глава диссертации посвящена обзору современного состояния исследований пузырьковых течений. Показано влияние расходных параметров фаз на интегральные и локальные характеристики пузырьковых потоков. Несмотря на интенсивные исследования в тематике, множество проблем открыты. Существует ряд работ посвященных численному моделированию движения газожидкостных смесей (Serezawa and Kataoka, 1991; Bois, 2017; Pakhomov and Terekhov, 2016). Но развитие теоретических моделей движения газожидкостных потоков сдерживается отсутствием достаточного количества экспериментальной информации, полученной для различных условий движения.

В работах (Nakoryakov el al. 1981; Madavan et al. 1984) показано, что дисперсность газовой фазы в потоке существенно влияет на параметры течения. Наиболее ярко данное влияние проявляется в монодисперсных газожидкостных смесях, когда отсутствует конкуренция между эффектами вызванными пузырями различных размеров. Рассмотрены разнообразные способы создания монодисперсной газожидкостной смеси. Показано, что генерация пузырьков при отрыве газовой фазы от капилляра, погруженного в поток жидкости, является наиболее применимой для технологических устройств. Большая часть экспериментальных и теоретических работ по исследованию отрыва пузырька в потоке жидкости сконцентрирована на изучении формирования пузырька на отверстии в стенке канала в восходящем потоке. Данные об особенностях генерации пузырьков в опускных течениях, а также информация о влиянии положения инжектора газа в потоке на отрыв пузырька, носят фрагментарный характер.

Показано, что локальная структура спутных опускных пузырьковых течений существенно отличается от структуры восходящих. В работе (Dong and Hibik, 2021) приводится обзор экспериментальных исследованию спутных опускных двухфазных потоков. экспериментальных исследований выполнены с использованием воды в качестве несущей фазы, как правило, числа Рейнольдса жидкой фазы в этих работах соответствуют развитому турбулентному режиму. Режимы с малыми расходами фаз по-прежнему остаются малоизученными. Важным вопросом при изучении газожидкостного течения является степень влияния пузырьков пульсационные характеристики жидкости. Детальный псевдотурбулентности, вызванной относительным движением пузырей, приведен в работе (Joshi et al., 2017). Чтобы отделить влияние перемешивания жидкости пузырями от собственной турбулентности жидкости требуются эксперименты при ламинарных режимах течения. В случае спутных опускных пузырьковых потоков, если средняя скорость жидкости равна групповой скорости всплытия пузырьков газа, реализуется так называемый режим зависания газовой фазы, когда величина истинного газосодержания может принимать значения в широком диапазоне при нулевом расходе газа. Опускные пузырьковые течения с расходными параметрами фаз соответствующими режиму зависания изучены весьма слабо. Работа (Ганчев и Пересадько, 1985) — одно из немногих исследований посвященных данной теме. Но, из-за особенностей подачи газа, в данной работе распределение пузырей по размерам существенно меняется вверх по течению в связи с их активной коалесценцией, что приводит к значительному изменению параметров течения.

Последние 10-15 лет заметна тенденция перехода ведущих групп, которые многие годы проводили исследования двухфазных течений в трубах, к исследованиям в каналах, используемых в современных технологиях. Большой интерес со стороны научного сообщества проявляется к каналам – сборкам стержней, имитирующим тепловыделяющие сборки ядерных реакторов. Исследования термогидравлических характеристик однофазных течений в моделях тепловыделяющих сборок проводится во многих отечественных и зарубежных лабораториях. Результаты отечественных исследований сведены в учебных пособиях и справочниках Б.С. Петухова, В.И. Субботина, П.Л. Кириллова. В процессе штатной работы ядерных установок типа BWR в активной зоне происходит кипение теплоносителя, так же в случае аварийной ситуации в установках типа ВВЭР возможно его предназначенные для Численные коды, прогнозирования аварийных ситуаций в ядерных реакторах, основаны, как правило, на Надежные двухжидкостных моделях. экспериментальные распределении газовой фазы в канале ТВС необходимы как для составления замыкающих соотношений, так и для верификации моделей. В настоящее время, в литературе присутствует большое количество экспериментальных и теоретических работ по исследованию как истинного газосодержания (Murase et al., 1986; Kamei et al. 2010), так и распределения газовой фазы по сечению канала (Clark et al. 2014; Ren et al., 2017) при газожидкостном течении в сборках стержней. При этом применяемые в описанных выше работах методики измерения локального газосодержания не позволяют определять его значения в пристенной зоне стержней, а так же в узких зазорах между ними. Так же, несмотря на некоторое количество работ, посвященное исследованию гидродинамических характеристик пузырьковых потоков в сборках стержней, данные о структуре течений (особенно в пристенной зоне стержней) остаются фрагментарными. Не раскрыта проблема влияния дистанцирующих решеток на характеристики двухфазного потока в сборке. В литературе нет работ по теплообмену при пузырьковом течении в ТВС, позволяющих выделить вклад относительного движения газовых пузырьков на интенсификацию передачи тепла от стержня сборки к потоку.

Вторая глава посвящена описанию экспериментальных методик используемых в работе, достоверности и неопределенности полученных ланных.

Для определения дисперсности газовой фазы в потоке при малых газосодержаниях, пузырьковое течение снималось на фото или видеокамеру в проходящем свете. Полученные теневые изображения обрабатывались автоматически при помощи алгоритма разработанного в среде Matlab.

Для измерения локальных характеристик пузырькового течения (напряжение трения на стенке канала, скорость жидкой фазы, локальное газосодержание и дисперсность газовой фазы) применялся электродиффузионный метод (Накоряков и др., 1986). Метод основан на измерении скорости диффузии активных ионов к электроду-датчику, помещенному в поток. Описаны особенности метода и применяемой измерительной аппаратуры для различных типов датчиков.

Описана методика измерения теплообмена в газожидкостном потоке в сборке стержней при обогреваемой стенке стержня с помощью резистивных датчиков температуры.

Описаны основные источники неопределенности измеряемых величин. Системы подачи жидкой и газовой фаз калибровались, что обеспечило стандартное среднеквадратичное отклонение расхода не более 1% и 2,5% соответственно. Аппаратура, использованная для измерения тока датчиков, обеспечивала точность измерений тока с погрешностью не более 0,5%. Неопределенность при измерении диаметра пузыря по теневым изображениям потока составляет не более 12%. Неопределенность измерений при использовании электродиффузионного метода составляет 7% для напряжения трения, и 4% для скорости жидкой фазы. При измерении локального газосодержания электродиффузионным датчиком, наблюдается систематическая ошибка, показания датчика занижены на 3,2-15,7%.

В третьей главе рассмотрены результаты исследований формирования дисперсной газовой фазы на капилляре в потоке жидкости. В разделе 3.1 описывается экспериментальная установка и рабочие каналы. Первая часть эксперимента посвящена исследованию влияния расходных параметров жидкости и газа, направления течения и ориентации капилляра, на размер пузырей при отрыве в потоке жидкости от капилляра или отверстия в стенке канала (раздел 3.2). Рабочим каналом служила труба квадратного сечения 10 мм. Рабочей жидкостью дистиллированная Использовались три конфигурации расположения отверстия, через которое производился ввод газа в поток. Отверстие капилляра располагалось заподлицо с одной из стенок канала, было расположено в центре канала, и в третьем случае капилляр, находящийся в центре канала, был направлен по потоку жидкости (рисунок 1). Эксперименты проводились в восходящем и опускном течениях жидкости. Эксперимент проводился при

Рейнольдса в диапазоне 650 – 12400. Расход газа варьировался в диапазоне $Q_{\rm g} = 0.0167 - 1.67$ мл/с. На рисунке 1 результаты измерений сгруппированы таким образом, что бы было проще оценить влияние положения капилляра в канале и направления потока на размер формируемых пузырей. При одинаковых расходах фаз (во всем исследуемом диапазоне их значений) самые мелкие пузыри получаются при отрыве от капилляра расположенного в центре канала поперек потока, при этом самые крупные формируются на капилляре расположенном в центре канала по потоку. При малых скоростях жидкости отрывной диаметр пузырей выше в опускном режиме течения, чем в восходящем. Увеличение U_L приводит к выравниванию размеров пузырей для обоих случаев. В опускном течении векторы скорости жидкости и силы Архимеда направлены в противоположные стороны, что приводит к замедлению уноса пузырька от отверстия капилляра в опускном течении и увеличению времени его роста. При увеличении U_L значительно выше относительной скорости всплытия пузыря влияние направления потока жидкости на его размер становится незначительным.

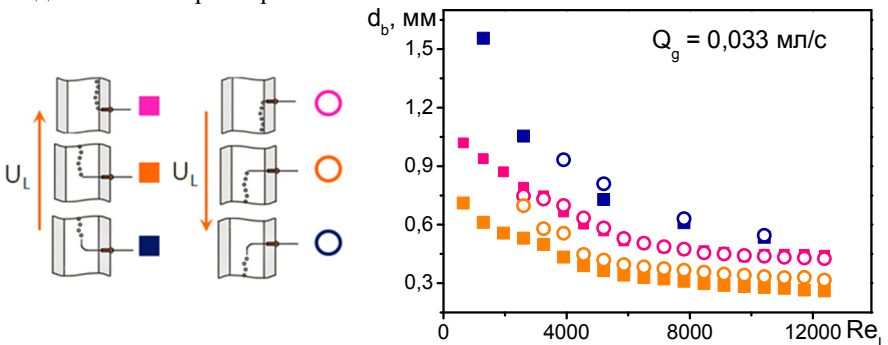


Рисунок 1 – Влияние способа ввода газа в поток и направления течения на размер пузыря.

Вторая часть эксперимента (раздел 3.3) посвящена исследованию влияния физических свойств жидкости и диаметра капилляра на отрыв пузыря в потоке. Рабочим каналом служила труба круглого сечения внутренним диаметром 15 мм. Рабочей жидкостью – глицерин, температура которого в процессе эксперимента поддерживалась равной 70, 80 и 90 °С. Газ подавался в поток через капилляр, вклеенный в центральную часть рабочего участка. Отверстие капилляра было расположено в центре канала. Эксперимент проводился в опускном течении при числах Рейнольдса в диапазоне 80 - 300. Расход газа варьировалось в диапазоне $Q_g = 0.0167 - 1.67$ мл/с. Эти параметры были выбраны потому, что именно при таком направлении течения и положении капилляра наблюдались наиболее интересные режимы отрыва, требующие более детального изучения. Использовались капилляры с внутренним диаметром 0.5 и 0.16 мм. На рисунке 2 представлена зависимость

объема пузырька, формируемого на капилляре, от расходов фаз при различных диаметрах капилляра и вязкостях рабочей жидкости. Оси обезразмерены в соответствии с работой (Oguz~and~Prosperetti,~1993), где $V_{Fr}=\frac{\pi\sigma d_o}{\rho_1 g}$ - отрывной объем пузыря в покоящейся жидкости по модели

Фрица, $Q_{cr} = \pi \left(\frac{16}{3g^2}\right)^{\frac{1}{6}} \left(\frac{\sigma d_o}{2\rho_L}\right)^{\frac{5}{6}}$ – критический расход газа, при котором в покоящейся жидкости происходит переход от одиночного отрыва пузырька к отрыву с коалесценцией вблизи капилляра.

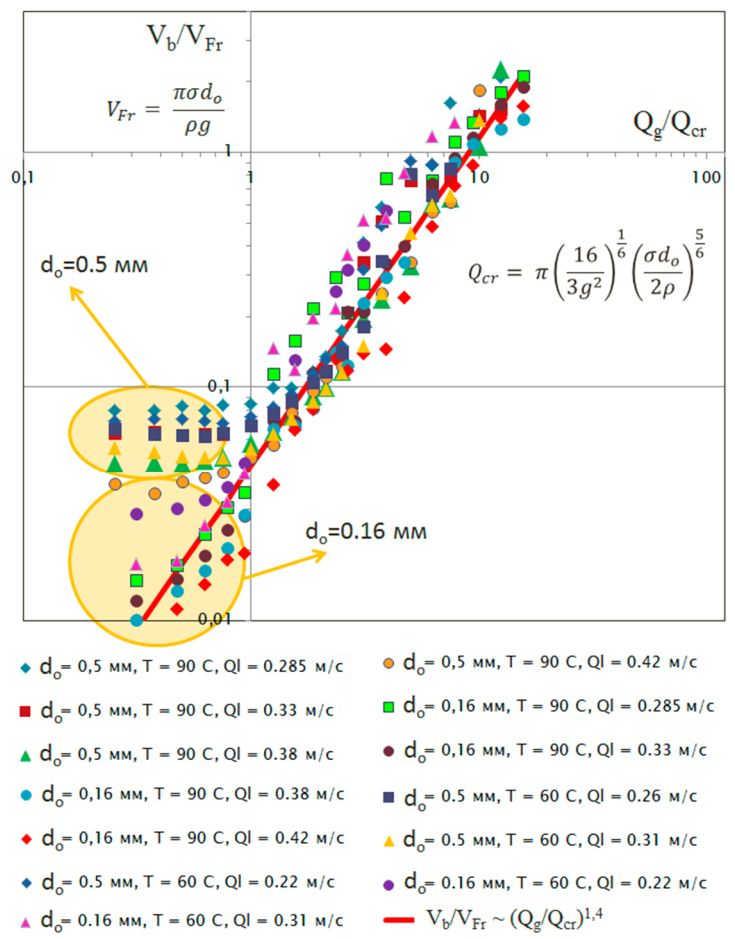


Рисунок 2 — Зависимости среднего объема пузыря от расходов фаз в безразмерных координатах.

При $Q_g/Q_{cr} > 1$ экспериментальные результаты, полученные для капилляров разного диаметра и разных вязкостей жидкости ложатся вблизи одной кривой $V_b/V_{Fr} \sim (Q_g/Q_{cr})^{1.4}$, при этом в зоне $Q_g/Q_{cr} < 1$, в отличие от работы (Oguz and Prosperetti, 1993) наблюдается существенное влияние диаметра капилляра, и вязкости жидкости на объем формируемого пузырька.

Третья часть эксперимента (раздел 3.4) посвящена исследованию режимов генерации пузырьков в потоке жидкости. Параметры эксперимента аналогичны данным в разделе 3.3. При достаточно маленьких расходах газа (примерно от 2 до 12 мл/мин для капилляра с $d_o = 0.5$ мм, и от 2 до 6 мл/мин для тонкого капилляра $d_0 = 0.16$ мм) реализуется режим одиночного отрыва, когда пузырь, оторвавшийся от капилляра, слабо влияет на отрыв последующего. Эта область и соответствует полочке на рисунке 2. Для такого режима отрыва характерен один ярко выраженный пик на гистограмме размеров (рисунок 3 а). При малых расходах газа (примерно от 2 до 6 мл/мин для капилляра с $d_o = 0.5$ мм, и до 2 мл/мин для тонкого капилляра $d_0 = 0.16 \text{ мм}$) можно наблюдать импульсный режим отрыва когда цепочка пузырей периодически (рисунок 3 б). прерывается и возобновляется. При таком режиме, который является частным случаем одиночного отрыва, наблюдается так же лишь один пик на гистограмме размеров. При увеличении расхода газа наблюдается переход от режима одиночного отрыва к режиму, для которого свойственны два ярко выраженных пика на гистограмме размеров (рисунок 3 в). Видно, что дополнительный пик на гистограммах соответствует пузырям вдвое большего объема, чем пузыри относящиеся к основному пику. Это дает основание утверждать, что большие пузыри возникают в результате коалесценции маленьких вблизи капилляра. При дальнейшем увеличении расхода газа доля крупных пузырей растет, в некоторых случаях при увеличении расхода газа течение вновь может перейти в режим, для которого характерен только один ярко выраженный пик на гистограмме размеров, но в этом случае, генерируемые пузыри будут не результатом одиночного отрыва, а следствием коалесценции вблизи капилляра. Пример такого течения представлен на рисунке 3 г. При дальнейшем повышении расхода газа наблюдались более сложные режимы отрыва. На гистограмме размеров пузырей в таких режимах можно обнаружить более двух ярко выраженных пиков рисунке 3 д. При расходах газа порядка 100 мл/мин можно наблюдать переход отрыва пузыря к струйному режиму, для которого характерен большой разброс пузырей по размерам, а так же сильное отклонение формы пузырей от сферической. Примеры таких течений представлены на рисунке 3 е. Из-за сложной трехмерной формы пузырей и перекрытия их изображений такие режимы не поддаются компьютерной обработке.

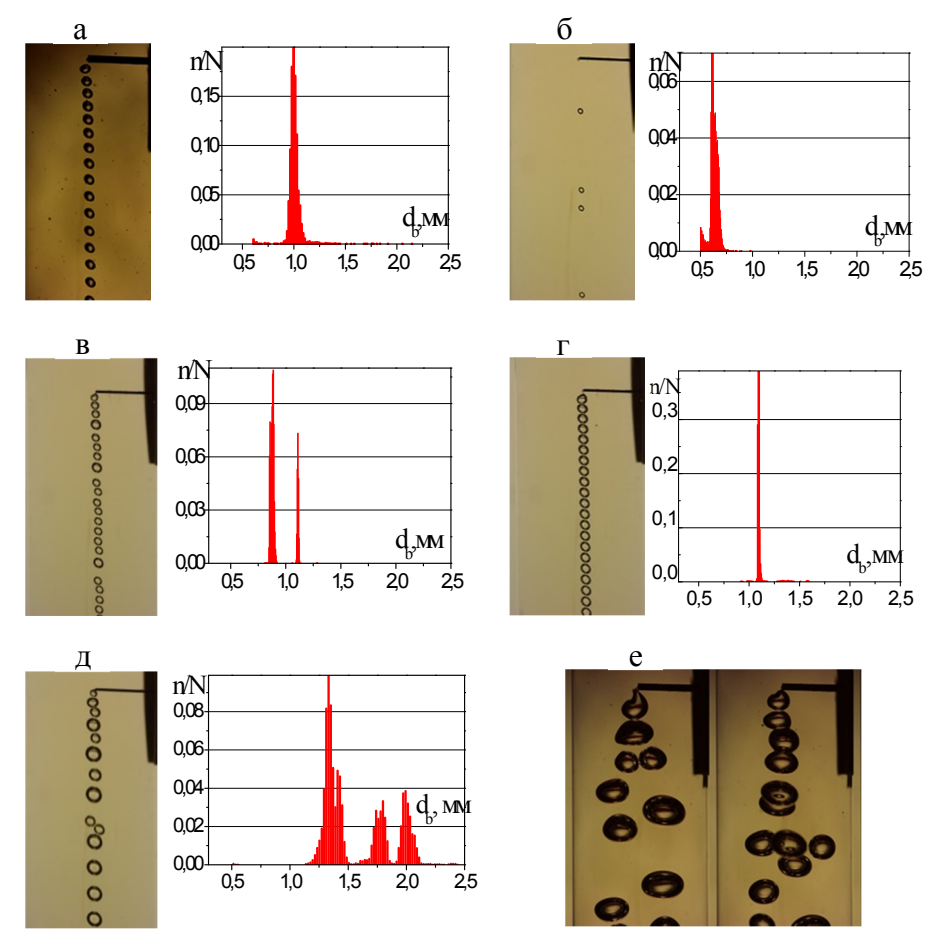


Рисунок 3 – (a) d_o = 0,5 мм, T = 90 °C, U_L =0,33 м/с, Q_g = 8 мл/мин; (б) d_o = 0,16 мм, T = 70 °C, U_L =0,19 м/с, Q_g = 2 мл/мин; (в) d_o = 0,16 мм, T = 70 °C, U_L =0,22 м/с, Q_g = 10 мл/мин; (г) d_o = 0,16 мм, T = 70 °C, U_L =0.22 м/с, Q_g = 15 мл/мин; (д) d_o = 0,16 мм, T = 70 °C, U_L =0,19 м/с, Q_g = 15 мл/мин; (е) d_o = 0,5 мм, T = 80°C, U_L = 0,25 м/с.

Четвертая глава посвящена результатам исследования опускного пузырькового течения режиме зависания газовой фазы докритических числах Рейнольдса по жидкой фазе. В разделе 4.1 описывается экспериментальная установка и рабочие участки. Исследование опускного спутного пузырькового течения вблизи режима зависания газовой фазы, представленное в разделе 4.2, проводилось на канале внутренним диаметром 14 мм. Рабочей жидкостью служил электродиффузионный электролит на основе дистиллированной воды. Эксперимент проводился при числах Рейнольдса по жидкой фазе в диапазоне 2900 — 6450. Расходное газосодержание варьировалось в диапазоне $\beta=0,005-0,07$. Диаметр пузырьков был определен при автоматической обработке теневых изображений, средние значения диаметров находились в диапазоне от 1 до 3 мм. На рисунке 4 а представлена полученная зависимость напряжения трения на стенке канала в опускном пузырьковом течении при различных расходах фаз. τ_0 — напряжение трения в однофазном потоке. Для всех исследуемых расходов фаз отношение $\tau_w/\tau_0 > 1$. Как привило, в опускных двухфазных потоках напряжение трения больше чем в однофазном. Качественно похожие результаты были получены в работе (*Kashinsky and Randin, 1999*). Интенсивность турбулентных пульсаций в пристенной зоне канала τ'/τ_w представлена на рисунке 4 б.

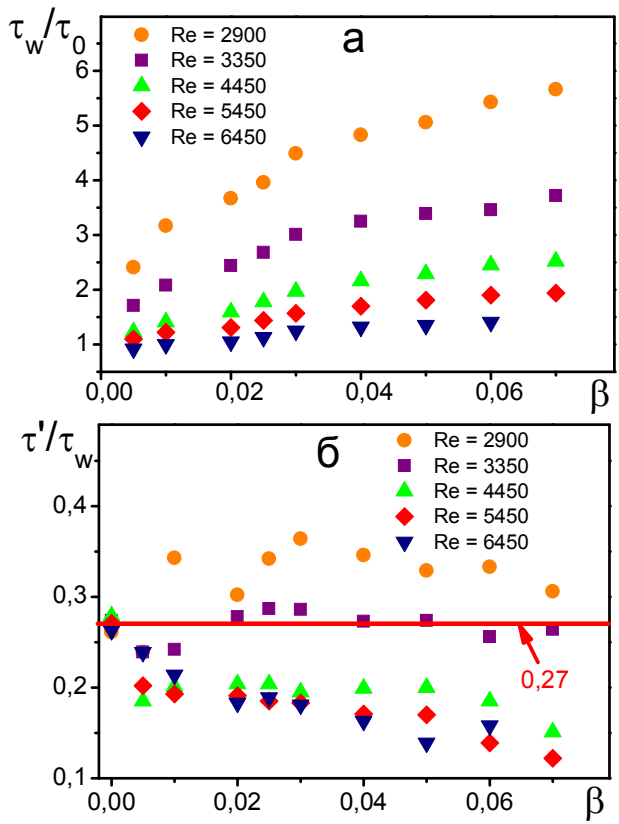


Рисунок 4 – (a) Напряжение трения на стенке канала; (б) Пульсации напряжения трения на стенке канала.

au' – среднеквадратичное отклонение напряжения трения на стенке канала. В однофазном потоке величина отношения au'/ au_w принимает значение равное 0,27 при всех исследуемых расходах жидкой фазы. Для Re = 3350, 4450, 5450 и 6450 наблюдается тенденция к уменьшению интенсивности турбулентности с ростом eta, что качественно соответствует данным полученным в исследованиях других авторов. Для Re = 2900 в случае, когда течение наиболее близко к режиму зависания газовой фазы, наблюдается нетипичное для опускного пузырькового течения поведение пульсаций напряжения трения на стенке канала — его значение больше чем в однофазном потоке примерно на 20%.

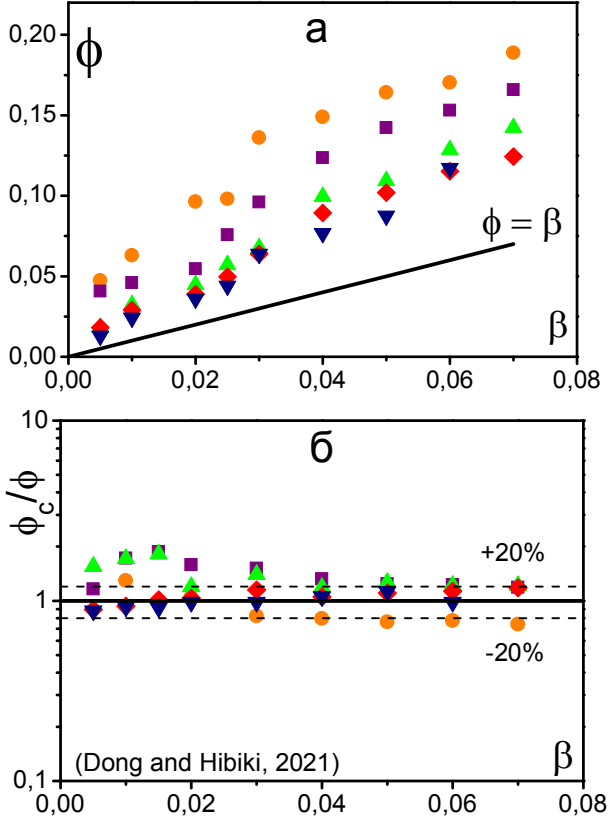


Рисунок 5 – (a) Истинное газосодержание при различных расходах фаз; (б) Сравнение экспериментальных данных с корреляцией на основе модели потока дрейфа.

По измеренным U-образным манометром перепадам давления в пузырьковом потоке $\Delta P'$ и значениям напряжения трения на стенке канала

было рассчитано истинное газосодержание φ (рисунок 5 a) согласно выражению:

$$\varphi = \frac{\Delta P'd - 4H\tau_w}{\rho_L gHd}.$$
 (1)

Полученные значения φ сравнивались со значениями, рассчитанными при помощи корреляций φ_c , основанных на модели потока дрейфа. Модели (*Clark and Flemmer*, 1985a; Goda et al., 2003) показывают неудовлетворительное совпадение с экспериментальными данными во всем диапазоне исследуемых расходных параметров фаз. Более сложная современная модель (*Dong and Hibiki*, 2021) описывает экспериментальные результаты с неплохой точностью (рисунок 5 б), но в зоне низких расходных газосодержаний и вблизи режима зависания газовой фазы ошибка расчетов все еще больше 20%.

Исследование опускного пузырькового течения при докритических числах Рейнольдса представлено в разделе 4.3. Эксперимент проводился на канале с внутренним диаметром 20 мм. В качестве рабочей жидкости электродиффузионный электролит глицериновой смеси. Числа Рейнольдса, по жидкой фазе равнялись 500, 1000 и 1500. Расходное объемное газосодержание изменялось в пределах 0,005 до 0,1. Средние значения диаметров пузырьков находились в диапазоне от 2,6 до 3,5 мм. Измеренные профили локального газосодержания приведены на рисунке 6 а. Вблизи стенки существует кольцевая область чистой жидкости, свободная от пузырей газа. При малых значениях расходного газосодержания имеет колоколообразную форму. При **у**величении β газосодержание принимает примерно постоянные значения в центральной трубы. При наибольших значениях В профиль газосодержания имеет небольшой локальный максимум при промежуточном значении радиуса. На рисунке 6 б приведены измеренные профили скорости жидкости в двухфазном потоке. Видно, что даже малая добавка газовой фазы приводит к существенной деформации профилей скорости, выражающейся в их выполаживании. В центральной части трубы значения скорости жидкости близки к постоянным. В то же время возникает максимум скорости при промежуточном значении радиуса, который более выражен при больших значениях В. Происходит также существенное возрастание градиента скорости в пристенной зоне. На основе измеренных профилей локального газосодержания и напряжения трения на стенке были рассчитаны профили напряжения трения в потоке. Использовалось балансное соотношение, приведенное в работе (Sato et al. 1981):

$$\tau = \tau_w \left(\frac{r}{R}\right) - \frac{1}{2} r g[\bar{\rho} - \rho_i(r)]. \tag{2}$$

На рисунке 6 г видно, что введение газовой фазы приводит к значительной деформации распределения трения даже при малых значениях

расходного газосодержания. Это связано с дифференциальной плавучестью, вызванной неравномерным распределением газовой фазы по сечению трубы. В центральной части трубы значения трения становятся близкими к нулю и даже отрицательными. Этим качественно объясняется выполаживание профилей скорости жидкости в центральной зоне. В результате градиент скорости жидкости в пристенной области возрастает. Измеренные значения среднеквадратичных пульсаций скорости жидкости в полулогарифмических координатах закона стенки приведены на рисунке 6 в. Профили пульсаций скорости близки при существенно различных значениях β . Максимальные значения отношения u'/u_{τ} лежат в диапазоне от 1,5 до 2, что близко к соответствующим значениям для однофазного турбулентного течения в трубах. Таким образом, динамическая скорость является адекватным масштабом для пульсаций скорости жидкости в псевдотурбулентном пузырьковом течении.

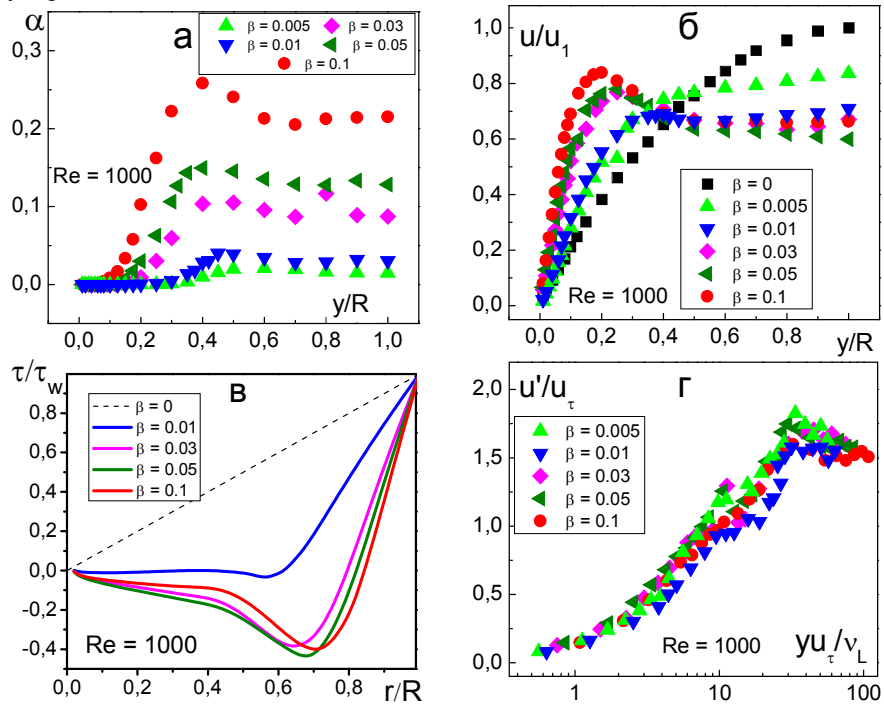


Рисунок 6 – (а) Профили локального газосодержания; (б) Профили скорости; (в) Профили пульсаций скорости в координатах закона стенки; (г) Касательное напряжение по сечению трубы.

В пятой главе представлены результаты исследования характеристик пузырькового течения в сборке стержней. В разделе 5.1 описано устройство

экспериментальной установки и измерительных участков. Рабочим каналом служила сборка из 9 вертикально расположенных стержней (диаметром 9,1 мм) в квадратной компоновке, удерживаемых между собой четырьмя листанцирующими решетками. В качестве рабочей жилкости использовался электродиффузионный электролит на основе дистиллированной воды. Эксперимент проводился при числах Рейнольдса 4000 - 11000. Гидравлический диаметр определялся как отношение четырех площадей сечения канала к его периметру и был равен 9,7 мм. Среднерасходное газосодержание β варьировалось в диапазоне от 3 – 10%. На рисунке 7 а представлены результаты измерений теплообмена в зависимости от числа Рейнольдса для различных расходных газосодержаний. Датчик температуры находился на 250 мм ($h/D_b = 25.8$) выше дистанцирующей решетки. По оси ординат отложено отношение Nu/Nu₀, где Nu₀ – число Нуссельта в однофазном потоке в соответствующем режиме. Наибольшее влияние на теплообмен газовая фаза оказывает при малых числах Рейнольдса и это влияние существенно возрастает с увеличением газосодержания. Заметим, что при больших числах Рейнольдса, интенсивность теплообмена не стремится к значению в однофазном потоке, а больше него на 20 - 30%. Зависимость безразмерного коэффициента теплоотдачи от расстояния до дистанцирующей решетки представлена на рисунке 7 б. Сплошная линия соответствует корреляции из работы (Qiao et al., 2016), где Nu* – значение числа Нуссельта в однофазном потоке без влияния дистанцирующей решетки. Видно, что при удалении от решетки вклад газовой фазы в интенсификацию теплообмена возрастает.

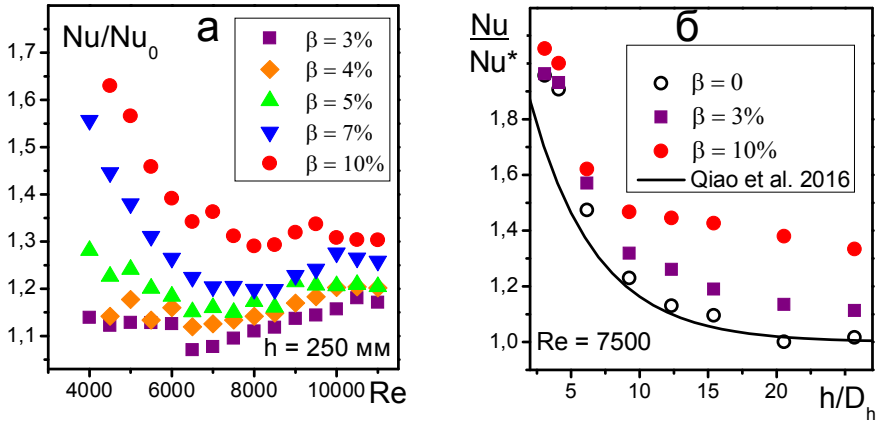


Рисунок 7 – (а) Зависимость теплообмена от числа Рейнольдса при различных газосодержаниях. Расстояние до дистанцирующей решетки; (б) Зависимость коэффициента теплообмена от приведенного расстояния от решетки при различных газосодержаниях.

При помощи датчика проводимости типа «лобовая точка» введенного в поток через отверстие в стержне сборки, получено распределение локального газосодержания вокруг центрального стержня сборки и на линиях соединяющих центральный и боковой, а так же центральный и угловой стержни сборки. Распределение газовой фазы не имеет аксиальной периодичности соответствующей симметрии сечения сборки. Отсутствие аксиальной симметрии в восходящем пузырьковом потоке в трубах круглого сечения наблюдалось ранее и в работах других авторов. На рисунке 8 показаны распределения локального газосодержания между центральным и угловым стержнем. Вблизи дистанцирующей решетки наблюдается колоколообразный профиль. Но при удалении от дистанцирующей решетки реализуются седлообразные профили газосодержания.

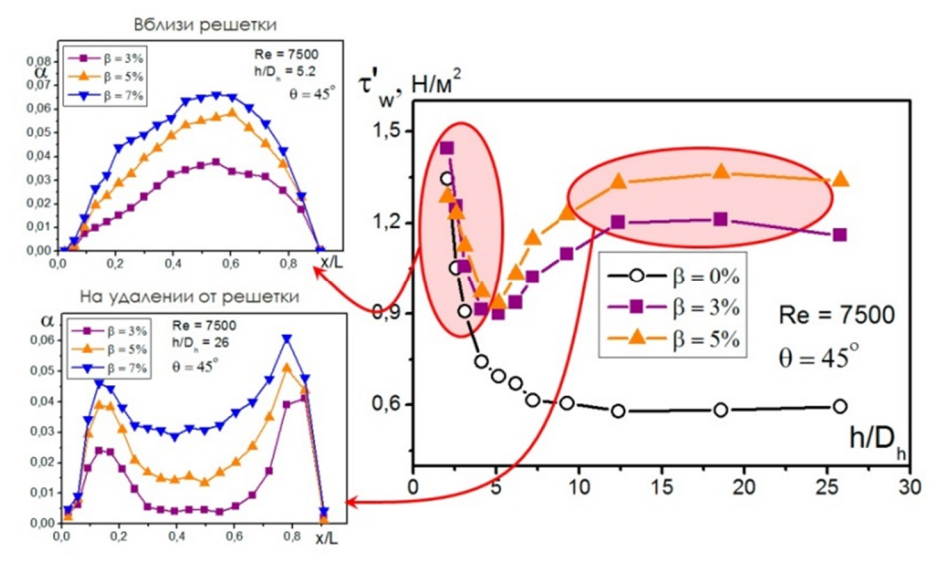


Рисунок 8 – Влияние распределения газовой фазы структуру течения.

При этом максимумы распределения становятся более выраженными с увеличением числа Рейнольдаса и уменьшении газосодержания. Напряжение трения и пульсации напряжения трения на стенке центрального стержня сборки при различных расходах фаз и угловых ориентациях датчика были измерены при помощи электродиффузионного метода. Существенное напряжения наблюдается увеличение значения трения сразу дистанцирующей решеткой. Далее величина τ_w быстро убывает при увеличении расстояния между датчиком и решеткой от 50 до 100 мм. При дальнейшем удалении датчика от решетки напряжение трения в однофазном потоке продолжает медленно уменьшаться, выходя на постоянное значение.

При этом на удалении от решетки течение имеет весьма симметричный вид — величины τ_0 при различных углах слабо отличаются. Зависимость τ_w от расстояния до решетки при пузырьковом режиме течения имеет более сложный существенно немонотонный вид, и большее отличие по углу. Результаты измерения пульсаций напряжения трения τ'_w представлены на рисунке 8.

В случае однофазного потока пульсации ведут себя так же, как и средняя величина – быстро убывают с увеличением расстояния до дистанцирующей решетки. Добавление газовой фазы приводит к существенному росту пульсаций. Так же для двухфазного потока наблюдается необычное поведение - ярко выраженный минимум пульсаций на расстоянии 30 – 50 мм от решетки и максимум на удалении 150-200 мм. При удалении от решетки течение принимает осесимметричный вид. Дистанцирующая решетка существенно меняет структуру потока. В области решетки поперечное сечение канала значительно сужено, что приводит к ускорению потока жидкости. Эти струи жидкости и приводят к существенному росту пульсаций и напряжения трения вблизи решетки. С удалением от решетки скорость жидкости уменьшается и на некотором расстоянии начинает соответствовать невозмущенному потоку. Для объяснения не монотонности зависимости напряжения трения и пульсаций напряжения трения от расстояния до дистанцирующей решетки необходимо сопоставить эту зависимость с особенностями распределения газовой фазы в различных зонах сборки (рисунок 8). Как было показано выше, вблизи дистанцирующей решетки профили газосодержания имеют куполообразную форму и концентрируются в центре ячейки сборки, в связи с этим вклад газовой фазы в интенсификацию турбулентных пульсаций в пристенной зоне стержней невелик. При удалении от решетки происходит перестроение профиля газосодержания к седлообразному и газовая фаза концентрируется в узкой зоне вблизи стержня, что объясняет происходящий при этом рост пульсаций напряжения трения.

При обработке сигналов датчика трения были получены спектры турбулентных пульсаций в пристенной зоне центрального стержня сборки (рисунок 9). Показано, что как в однофазном потоке, так и в области вблизи дистанцирующей решетки с ростом частоты наблюдается затухание по закону близкому к Колмогоровскому (-5/3), в то время как на удалении от решетки в пузырьковом (в зоне которая соответствует седлообразному профилю газосодержания) практически весь спектр можно описать законом (-1).

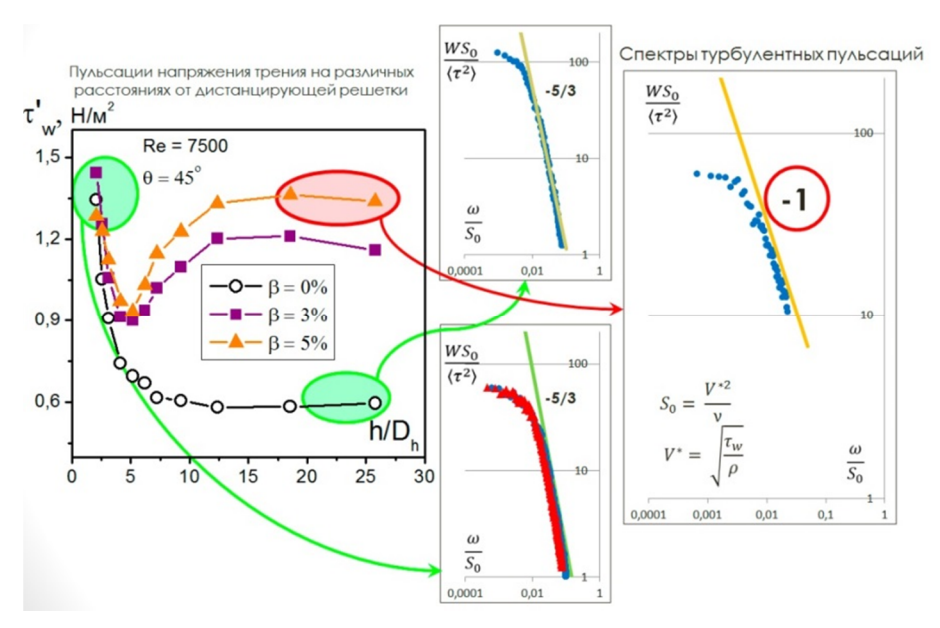


Рисунок – 9. Спектры турбулентных пульсаций.

Основные выводы по диссертации:

- 1. Проведено систематическое исследование процесса отрыва пузыря при истечении газа из одиночного капилляра находящегося в потоке жидкости. Обнаружено влияние ориентации капилляра в потоке жидкости на размер формируемого пузырька. Показано, при расходе газа меньше критического значения наблюдается существенное влияние диаметра капилляра и вязкости жидкости на размер формируемого пузырька.
- 2. Проведено исследование локальных характеристик опускного пузырькового течения вблизи режима зависания газовой фазы. Впервые установлено, что относительные пульсации напряжения трения в опускном пузырьковом течении вблизи режима зависания газовой фазы выше, чем в однофазном на 20%. Восстановлены значения истинного газосодержания путем анализа баланса сил, действующих на столб двухфазной смеси.
- 3. В исследованиях опускного пузырькового течения при докритических жидкой фазе показано, что Рейнольдса по при деформация газосодержаниях происходит существенная профилей касательного напряжения сечению трубы, приводит по что выполаживанию профиля скорости. Показано, что в пузырьковом течении при малых газосодержаниях возникают псевдотурбулентные пульсации скорости в пристенной зоне даже при докритических числах Рейнольдса,

- адекватным масштабом для этих пульсаций является динамическая скорость.
- 4. Для восходящих пузырьковых адиабатических потоков в вертикальной сборке стержней квадратной компоновки получены данные о: теплообмене стержней сборки с пузырьковым потоком, напряжении трения на стенке стержня. Величины напряжения трения и пульсаций напряжения трения на поверхности вертикального стержня существенно возрастают при введении в поток жидкости газовой фазы. Впервые что зависимости этих величин показано, ОТ расстояния ЛΟ дистанцирующей решетки принимают немонотонный вил. что кардинально отличается от однофазного течения.
- 5. Проведены экспериментальные исследования распределения локального газосодержания по сечению сборки. Впервые показано, что распределение газовой фазы по сечению канала не имеет аксиальной симметрии. Влияние дистанцирующей решетки приводит к перегруппировке распределения газовой фазы. Это объясняет существенное влияния газовой фазы на гидродинамические и турбулентные характеристики потока и соответственно немонотонное изменение трения на стенке стержня при удалении от решетки.

Основное содержание диссертации изложено в следующих работах:

- **1. Воробьев М.А.**, Кашинский О.Н., Лобанов П.Д., Чинак А.В. Формирование мелкодисперсной газовой фазы в восходящем и опускном потоке жидкости // Известия РАН. Механика жидкости и газа. 2012. № 4. С. 75-81 (из перечня ВАК).
- **2. Воробьев М.А.**, Кашинский О.Н., Рандин В.В. Опускное пузырьковое течение в трубе при докритических числах Рейнольдса // Известия РАН. Механика жидкости и газа. 2019. № 2. С. 119-125 (из перечня ВАК).
- **3. Воробьев М.А.** Теплообмен в восходящем пузырьковом течении в вертикальной сборке стержней // Теплофизика и аэромеханика. 2019. Т. 26. № 2. С. 247-253 (из перечня ВАК).
- **4.** Kashinskii O.N., **Vorobyev M.A.** Wall Shear Stress in a Model of 3 3 Rod Bundle // J. Eng. Thermophys. 2020. Vol. 29, № 3 (из перечня ВАК).
- **5. Vorobyev M.A.**, Kashinsky O.N. Specific features of downward bubbly flow near the vanishing gas flow regime // Interfacial Phenomena and Heat Transfer, 2023, 11(1):11–19 (из перечня ВАК).
- 6. Kashinsky O.N., Vorobyev M.A., Lobanov P.D., Chinak A.V. Regimes of formation of bubbly flows // Int. Conf. Nucl. Eng. Proceedings, ICONE. American Society of Mechanical Engineers (ASME), 2016. Vol. 3. (из перечня ВАК).

- 7. Kashinsky O.N., Vorobyev M.A., Lobanov P.D., Chinak A.V. Bubble Generation From an Orifice in Upward and Downward Liquid Flow // ICONE. American Society of Mechanical Engineers (ASME), 2013. Vol. 4. (из перечня ВАК).
- **8. Воробьев М.А.**, Кашинский О.Н., Лобанов П.Д., Чинак А.В. Режимы генерации пузырей в потоке вязкой жидкости // Вестник Новосибирского государственного университета. Серия: физика. 2015. Vol. 10, № 3. Р. 70—75. (из перечня ВАК).
- **9. Воробьев М.А.**, Кашинский О.Н., Лобанов П.Д., Чинак А.В. Режимы формирования пузырьковых потоков в вязкой жидкости // Труды Института механики им. Р.Р. Мавлютова УНЦ РАН, Том 11 (2016), № 2, с. 254–262
- **10. Vorobyev M.A.**, Kashinsky O.N. Distribution of wall shear stress for a bubbly flow in rod assembly // J. Phys. Conf. Ser. 2020. Vol. 1675, № 1. Р. 012027. (из перечня ВАК).
- **11. Vorobyev M.A.**, Kashinsky O.N. Experimental study of local void fraction distribution in bubble flow in rod assembly // J. Phys. Conf. Ser. 2019. Vol. 1369, № 1. P. 012028. (из перечня ВАК).
- **12. Vorobyev M.A.**, Kashinsky O.N. Heat transfer of a bubbly flow in a vertical rod bundle 3X3 // J. Phys. Conf. Ser. 2018. Vol. 1105, № 1. Р. 012073. (из перечня ВАК).
- 13. Kashinsky, O.N., Randin, V.V., **Vorobyev, M.A.** Experimental study of laminar downward bubbly flow in a vertical tube// Journal of Physics: Conference Series, 2018, 1105(1), 012072 (из перечня ВАК).